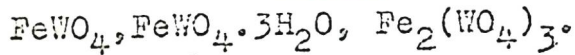
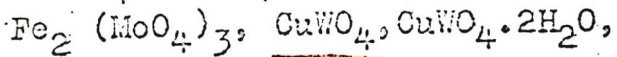
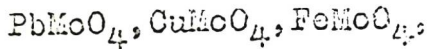


W-Gie

VII 1057

1925



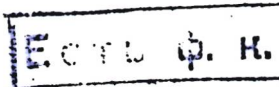
G. · 8H₂O (Δ H[°])
Kammann, Westerhold Fr.,

21-98

1. Z. anorg. Chem. 149, 55 (1925)

Circ. 500

M



W-U-O

1956

Брениева Н.А.

Астрахан. гос. краев. муз. Н.
Мар., М., 1956

Репродукция из коллекции
Государственного исторического музея
имени А.С. Пушкина
из собрания Н.А. Брениевой

Д

VII 286 1957

MgWO₄, CaWO₄, SrWO₄,

BaWO₄, MnWO₄, CoWO₄,

FeWO₄, NiWO₄, CuWO₄, ZnWO₄,

CdWO₄, PbWO₄ (Hf, Sf)

Герасимов Я.И., Резухина Т.Н.,
Симаков Ю.П., Васильева И.А., Куршакова Р.Д.
Вестн. Моск. ун-та. Сер. матем., механ., астрон.,
физ., химии 1957, №4, 185-200.

RF, 1958, N18, 60133. M,

лс76 ф:к

VII 1741.

1937

CeWO₄ (P, SH), CeWO₄, Ce, W
(SG, SF)

Баскесова У. А., Терасовский А. У.,
Семанов А. А., Резникова Т. Н.

Ж. физ. химии, 1957, 31, № 4,
825-831.
РХФХ, 1958, 7119.

CuWO₄ (Tm) [BP-VII 1627]

1963

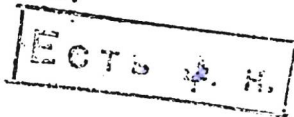
CuWO₄ (Tm)

Van Nistert L.G., Rubin J.J.,
Bonner W.A.

J. Amer. Ceram. Soc., 1963, 46,
n 10, 512.

PNX, 1964,
105290

5



$\text{NH}_4\text{CuWO}_2\text{F}_5 \cdot 4\text{H}_2\text{O}$ XVI-6034 1966

De Giar A., Fischer J.,
et al.

Булл. Академии наук ССР. Bull. Soc. Chim. France,
1966, №8, 2647-8.

1964
 $\text{Cu WO}_4 - x$

12 Б347. О кристаллической структуре вольфрамата меди. Gebert Elizabeth, Kihlborg Lars. On the crystal structure of copper wolframate. «Acta chem. scand.», 1967, 21, № 9, 2575—2576 (англ.)

Проведено рентгенографич. исследование CuWO_{4-x} (I) (метод порошка, $\lambda \text{ Cu} = K_{\alpha}$, прецессии и Венссеноерга, $\lambda \text{ Mo} = K_{\alpha}$), полученного нагреванием смеси CuO , Cu_2O , WO_3 , WO_2 при 800° . В качестве сопутствующего продукта получено соединение Cu_3WO_6 . Параметры трикл. решетки I: $a 4,7026$, $b 5,8389$, $c 4,8784 \text{ \AA}$, $\alpha 91,677^{\circ}$, $\beta 92,469^{\circ}$, $\gamma 82,805^{\circ}$, ρ (изм.) 7,44, ф. гр. $P\bar{1}$. Координаты атомов вычислены на основании трехмерного синтеза Паттерсона, положение атомов O найдено из разностных

X: 1968. 12

синтезов. Структура уточнена методом наименьших квадратов до $R=0,20$. Структура представляет искаженный тип вольфрамита. Искажение заключается в основном в отклонении угла γ от 90° . Атомы W находятся в октаэдрич. окружении, W—O 1,83—2,22 Å. Атомы Cu окружены 4 атомами O, лежащими приблизительно в одной плоскости, на расстоянии 1,92—2,00 Å, два атома O на расстоянии 2,30—2,32 Å дополняют координац. многогранник Cu до октаэдра. Обсуждается фазовый состав образцов, ρ (изм.) для I сравнивается с величинами ρ для CuWO_4 (7,73), $\text{CuWO}_{3,5}$ (7,53), CuWO_3 (7,34), $\text{Cu}_{0,77}\text{WO}_3$ (6,98). Уточнение структуры и стехиометрии CuWO_{4-x} продолжается.

Л. Н. Демьянец

1967

Cu_2WO_4

8 Б993. Кинетика окисления карбида вольфрама, Г. И.-
Мельфарб Ф. А., Зеликман А. Н. «Изв. высш.
учебн. заведений. Цветн. металлургия», 1967, № 3, 63—66

Показано, что при 500—900° окисление WC во времени
протекает с постоянной скоростью и хорошо описывает-
ся уравнением Аррениуса. Энергия активации 25,5 ккал/моль.
При окислении WC в присутствии Fe образуются воль-
фраматы состава FeWO_4 и Fe_2WO_6 , в присутствии меди
в кач-ве промежуточной фазы образуется Cu_2WO_4 (т. пл.
610°), окисляющийся на воздухе до CuWO_4 . Резюме

Tm

X. 1968: 8

VII Ce₄MoS₅, CeWS₅ 1963
a, b, c VII 4699

Макарова О.Г., Родионов С.Н.

Тр. Казанск. политехн. ун-т, 1968,
Вып. 12, 32-35-

Особая, аномальная "сигнальная"
форма тела $A_1^I B_0^{VII} C_5^{VI}$. 6

РС, 451134 (1970). (P) MR

1969

Cu₃WO₆
-3 = 6

Кристалл.
стекло

24 Б524. Кристаллическая структура нового двойного окисла меди и вольфрама Cu₃WO₆. Gebert Elizabeth, Kihlborg Lars. The crystal structure of a new copper wolfram oxide, Cu₃WO₆. «Acta chem. scand.», 1969, 23, № 1, 221—231 (англ.)

Синтезированы (сплавлением смеси окислов CuO и WO₃ и последующим отжигом при т-ре 800° в течение 3—5 дней) и рентгенографически изучены (методы порошка и Вейсенберга, λ Cu- K_{α} , монокристальная съемка на рентгendifрактометре, λ MoK_α) кристаллы нового двойного окисла Cu₃WO₆ (I). Параметры кубич. решетки: a 9,797 Å, ρ (эксп.) 6,62 ρ (выч.) 6,65, $Z=8$, ф. гр. Pa3. Координаты атомов определены по трехмерным синтезам Паттерсона и трехмерным, простым и разностным, синтезам Фурье. Уточнение структуры выполнено МНК с учетом индивидуальных изотропных тепловых поправок вплоть до $R=0,120$ для 976 независимых от-

еще

%.

оц.

X · 1969 · 24

ражений. Структура I представляет собой новый структурный тип и существенно отличается от известных кубич. и псевдокубич. структур щелочноземельных вольфраматов. Структура I построена из искаженных октаэдров WO_6 (межатомным расстояния $\text{W}-\text{O}$ 1,791, 2,085; $\text{O}-\text{O}$ 2,57—3,82 Å) и трехгранных бипирамид CuO_5 ($\text{Cu}-\text{O}$ 1,921—2,243; $\text{O}-\text{O}$ 2,57—3,93), к-рые соединяются друг с другом вершинами и ребрами с образованием сложного трехмерного каркаса. Каждый октаэдр WO_6 соединен с 12-ю бипирамидами CuO_5 , из к-рых 9 имеют общие с октаэдром вершины, и 3 — ребра. Каждая бипирамида CuO_5 соединена с 4-мя октаэдрами и 6-ю другими бипирамидами. Сложный структурный мотив можно описать следующим образом. Шесть соединенных ребрами бипирамид CuO_5 образуют кольцо с симметрией 3. По обе стороны от этих колец над центральной полостью располагаются 12 октаэдра WO_6 , к-рые имеют общие вершины и ребра с выше и ниже лежащими кольцами и являются связующими звеньями между кольцами из бипирамид. Необычная координация Cu в I обсуждается в сравнении с более распространенными типами координации Cu (4, 6) в других соединениях $\text{Cu}_2(\text{OH})\text{AsO}_4$, $\text{Cu}_2\text{O}(\text{SO}_4)$ и т. д. Приведены значения d , I и $n_2+k^2+l^2$. рентгенограммы порошка I. С. В. Рыкова

MgWO_4 , CoWO_4 , NiWO_4 , CuWO_4 , Ag_7WO_4 1969

ZnWO_4 , CdWO_4 (ΔH_f) JII 3724

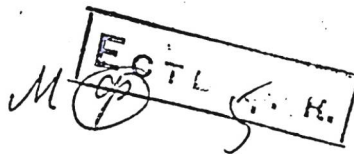
Navrotsky A., Kleppa O.J.

Inorgan. Chem., 1969, 8, NY, 756-758 (errata)

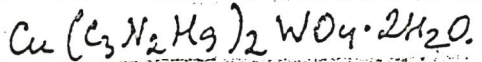
Enthalpies of formations of some
tungstates, MWO_4 .

PIK 245, 1969

245|940



VII



1970.

cr. str. (abc)..

Hämäläinen R. VII 4860

Suomen kem., 1970, 43, n5-6, B196-B198.

Crystallographic and other studies of
bis (*N*-methylglylenediamine) copper
(II) complexes. II. Bis (*N*-methylglylene-
diamine) copper (II) tungstate (VI) dihydrate.

M. H. O. (1)

Co₂W, Ni₂W, Cu₂W (T₂)

1971

VII 6245

Верхнезаводской В.С.

Сообщ. МИ Груз ССР, 1971, 64, №, 333-335

Некоторые свойства зеркодороги
для высокой температуры

МИ Каз., 1972

65317

(авт. Co₂W; I)

5 (9)

1972.

CuWO₄

(T_N)

145570k Effect of short-range order on the magnetic properties of copper tungstate. Anders, A. G.; Zvyagin, A. I.; Kobets, M. I.; Pelikh, L. N.; Khats'ko, E. N.; Yurko, V. G. (Fiz.-Tekh. Inst. Nizk. Temp., Kharkov, USSR). *Zh. Eksp. Teor. Fiz.* 1972, 62(5), 1798-802 (Russ). The extreme values of the magnetic susceptibility, χ_i along the magnetic axes x , y , z of the CuWO₄ single crystal and the EPR spectra of CuWO₄ and ZnWO₄ contg. 0.5-10% Cu²⁺ ions were detd. at 4.2-300°K. The Neel point T_N , detd. by the temp. at which the EPR spectra vanish, is $24 \pm 1^{\circ}\text{K}$. The curve $\chi_x(T)$ exhibits a significant inflection at T_N , indicating short-range exchange interaction effects on the magnetic properties of CuWO₄. This explains the wide max. of $\chi_i(T)$ above T_N . The antiferromagnetic exchange integral, detd. from the EPR spectrum of exchange bound pairs of Cu²⁺, $J = 30^{\circ}\text{K}$. The exptl. results are described by the theory taking into account the short-range order.

C.A. 1972. 77. N22.

Финч 1/895

Опись № 8655

1975

СиW₄

20 Б854. Термодинамические свойства вольфрамата меди. Кашина Т. А., Резухин Т. Н. «Ж. физ. химии», 1975, 49, № 5, 1288—1290

В интервале 1000—1100 К определена э. д. с. ячейки с тв. электролитом Ni, NiO|ZrO₂+CaO|CuWO₄, Си, WO_{2,90}, для к-рой потенциалобразующим процессом является р-ция $1,1\text{Ni} + \text{CuWO}_4 = 1,1\text{NiO} + \text{Cu} + \text{WO}_{2,90}$ (1). Обработка полученных результатов МНК дала для р-ции (1) $\Delta G_1(\pm 0,011 \text{ ккал}) = (-4,989 \pm 0,064) - (1,166 \pm 0,066) \cdot 10^{-3} T$. С учетом известных термодинамич. характеристик NiO, WO_{2,90} и CuO для процесса $\text{Cu} + \text{W} + 2\text{O}_2 = \text{CuWO}_4$ (2) получено $\Delta G_2(\pm 0,82 \text{ ккал}) = (-248,80 \pm 0,66) + (79,58 \pm 0,69) \cdot 10^{-3} T$ и для процесса $\text{CuO} + \text{WO}_3 = \text{CuWO}_4$ (3) $\Delta G_3(\pm 1,2 \text{ ккал}) = (-15,3 \pm 0,9) + (2,0 \pm 0,8) \cdot 10^{-3} T$ в исследованном т-рном интервале.

$\Delta H_f^{\circ}, \Delta S^{\circ}$

1380

XVII

Х 1975 № 20

Станд. термодинамич. параметры образования CuWO_4 из простых в-в при 298°K рассчитаны с использованием лит. величин теплоемкостей CuWO_4 , Cu и O_2 . Получено $\Delta H^\circ_{298} = -253,64 \pm 1,2$ ккал/моль, $S^\circ_{298} = 26,5 \pm 1,5$ э. е., $\Delta G^\circ_{298} = -227,66 \pm 1,2$ ккал/моль.

П. М. Чукров

announced 8655

1975

CuWO₄

153537u Thermodynamic properties of copper tungstate.
Kashina, T. A.; Rezukhina, T. N. (Mosk. Gos. Univ. im. Lomonosova, Moscow, USSR). *Zh. Fiz. Khim.* 1975, 49(5), 1288-90 (Russ). The thermodn. of formation of CuWO₄ [13587-35-4] were detd. at 1000-1100°K from emf. measurements of the cell Ni, NiO|(ZrO₂)_{0.85}(CaO)_{0.15}|CuWO₄, Cu, WO_{2.90}. The thermodn. values are: $\Delta H_{298}^{\circ} = -253.64 \pm 1.2$ kcal/mole, $\Delta G_{298}^{\circ} = -227.66 \pm 1.2$ kcal/mole $S_{298}^{\circ}(CuWO_4) = 26.5 \pm 1.5$ cal/degree·mole.

M. Wiedemann

ΔH_f^{298}

S_f^{298} , ΔG_f^{298}

C. A. 1975, 83N18

1380

!

X X

Cu WO_4

(крист)

1976

Кашин Т. А.

ΔG_f^{298}

ΔH_f^{208}

S_{298,15}

"Термодинамическое исследование
некоторых сплавов и гидро-
рогосодержащих фаз на осно-
вe фольфрана и манганита"

Автореферат на соискание
ур. степени КХН

1981

$\text{CuIn}(\text{WO}_4)_2$

22 Б1067. Двойные вольфраматы Cu^{I} и R^{III} (In , Sc , Ga и Cr) состава $\text{CuR}(\text{WO}_4)_2$. Клевцов П. В., Перепелица А. П. «Ж. неорган. химии», 1981, 26, № 8, 2251—2253

Двойные вольфраматы $\text{CuR}(\text{WO}_4)_2$, где $\text{R} = \text{In}$, Sc , Ga и Cr , получены твердофазным синтезом в вакууме из составных окислов. Найдено, что все эти соединения кристаллизуются в вольфрамитоподобном структурном типе $\text{LiFe}(\text{WO}_4)_2$; пространственная группа $C2/c$. При нагревании на воздухе соединения подвергаются окислительному процессу и разлагаются. Определены параметры элементарных ячеек и т-ры разл. в тв. фазе ($\text{R} = \text{Sc}$, Ga , Cr) и инконгруэнтного плавления ($\text{R} = \text{In}$). Резюме

T_m

(+3)

18



ж.1981 №22, 19 АБ

LiWO_4

[See. 1898]

1984

Казаков Д. С.

Перенесова А. Р.

Узб. АН СССР. Клопрн.

Часть пересов, 1984,

20, № 4, 653-658.

CuWO_4

1984

Резникович И. А.,
Бедунова С. Е.

$1H_f$; Узб. АН СССР. Журнал.
Материалы, 1984, 20,
N II, 1931–1932.

(c.u. MgWO_4 ; I)

(1984)

Скороход В. В., Солонин Ю. М., Филиппов Н. И.

Взаимодействие в системе Cu—W—O.

Изв. АН СССР. Неорганические материалы, 1984, т. 20, № 3,
с. 458—460.

Библиогр.: 5 назв.

— — 1. Медь, вольфраматы — Синтез и свойства.

№ 46705
14 № 3384
ВКП 29 IV 84

УДК 541.123.3

18.5

CuWO_4 L0M. 21695 | 1984

Filonov H.D., Chelyabinsk
I.O. N.I.,

Yerexu reference, 1984,
stgoln. 53, born. 9, 1425-1462.

CuWO₃F₂

1986

) 4 Б2043. Характеристика структур оксовольфрамата меди CuWO₃F₂. Caractérisation structurale de l'oxyfluorotungstate de cuivre CuWO₃F₂. Moutou J. M., Francisco R. H. P., Chaminade J. P., Pouchard M., Hagenmuller P. «Z. anorg. und allg. Chem.», 1986, 539, № 8, 165—174 (фр.; англ.)

Проведен РСТА (λ Mo, 942 отражения, R 0,019) кристаллов CuWO₃F₂, полученных взаимодействием WO₃ и CuF₂ в токе F₂ в течение 5 ч при 500° С с послед. 48 ч нагревом при 580° С в Pt-трубке (атмосфера Ar). Кристаллы монокл.: a 5,223, b 9,599, c 3,670 Å, β 106,26°, ρ (выч.) 6,27, ρ (изм.) 6,32, Z 2, ф. гр. $P2_1/m$. Цепочки (Цп) из изолированных WX₆ октаэдров, где X=O, F (расстояния W—X 1,747—2,092, X—X 2,555—2,743 Å), связывающихся друг с другом по противоположным вершинам, простираются вдоль [001]. Между ними распо-

структура

X. 1987, 19, N 4

лагаются атомы Cu в координац. окружении 6X. Объединяясь по общим ребрам CuX_6 полиэдры формируют Цп, простирающиеся вдоль [001]. В координации Cu проявляется сильный эффект Яна-Теллера: вдоль c расстояния Cu—X 2,525 Cu— $X_{\text{экв.}}$ 1,897—1,962, X—X 2,646—2,736 Å. Атомы O и F упорядоченно распределяются в каркасе $(\text{WO}_2\text{F}_2\text{O}_{2/3})^{2-}$, что установлено с помощью КР-спектроскопии, расчетов электростатич. энергии и баланса валентных усилий. В. Б. Калинин

CuWO₃F₂

1987

У 15 Б2322. Изучение кристаллической структуры, спектроскопических характеристик и магнитных свойств CuWO₃F₂. Crystal structure, spectroscopic and magnetic investigation of CuWO₃F₂. Chaminade J. P., Dance J. M., Moutou J., Pouchard M. «J. Fluor. Chem.», 1987, 35, № 1, 178 (англ.)

На основе РСТА установлено, что кристаллы CuWO₃F₂ (I) имеют монокл. структуру с параметрами решетки: $a = 5,223$, $b = 9,599 \text{ \AA}$, $c = 3,670 \text{ \AA}$, $\beta = 106,26^\circ$, ф. гр. $P2_1/m$, $Z=2$. Решетка I построена из цепочек, образованных октаэдрами WX_6 ($X = O, F$) с общими вершинами. Атомы Cu расположены между цепочками и также образуют цепочки октаэдров, однако последние связаны не по вершинам, а по ребрам. Данные по электронным спектрам и спектрам ЭПР подтверждают вывод об искаженной октаэдрич. координации атомов Cu. Т-рная зависимость статич. магн. восприимчивости хорошо описывается в рамках модели антиферромагн. гейзенберговской цепочки спинов $S=1/2$ при значении обменного параметра $J/k=-5,7 \text{ K}$. Из резюме

структура

X. 1987, 19, N 15

Cu₂WO₄

1987

24 Б2036. Исследование Cu₂WO₄ методом порошка.
Powder diffraction studies of Cu₂WO₄. Магин-
дер B.-О., Wang P.-Л., Werner P.-Е., Westdahl M.,
Andresen A. F., Louëг D. «Acta chem. scand.», 1987,
A41, № 3, 152—157 (англ.)

Проведены РСТА (λ Си, методом Ритвельда; МНК до R_p 49, R_I 34%, R_{wp} 56) и нейтронографич. исследование (λ 1,877, метод Ритвельда, МНК до R_p 34, R_{wp} 34, R_I 14%) соединения Cu¹⁺ Cu₂WO₄ (I). Кристаллы I трикл., a 7,914, b 8,205, c 5,8578 Å, α 96,45, β 93,97, γ 110,36°, Z 4, ρ (выч.) 7,076, ф. гр. $P\bar{1}$. Уточнение проведено в рамках ф. гр. $P\bar{1}$, хотя структура I ацентрична. В структуре I выделены слои октаэдров WO₆ в плоскости (110). Сочленяясь ребрами и вершинами, эти октаэдры образуют каркас, W—O 1,42—2,53 Å. Расстояние W—O 1,42 Å очень мало. Обсуждены затруднения, встретившиеся при уточнении структуры I по дифрактометрич. данным и по рентгенограмме в камере Гинье-Хэгга.

С. С. Мешалкин

X. 1987, 19, N 24

Cu-W

1987

108: 44620c Calculated phase diagrams of copper-tungsten, silver-tungsten and gold-tungsten binary systems. Vijayakumar, M.; Sriramamurthy, A. M.; Naidu, S. V. Nagender (Def. Metall. Res. Lab., Hyderabad, 500 258 India). CALPHAD: Comput. Coupling Phase Diagrams Thermochem. 1987, 11(4), 369-74 (Eng). Phase diagrams were calcd. for the Cu-W and Au-W systems from published data by assuming the absence of mutual solid solv. of the components. Liq. phase equil. were calcd. on the basis of the sub-regular soln. model by using the A. Miedema (1980) interaction parameters. Vapor phase boundaries were also calcd.

phys. group.

④ Au-W

c. A. 1988, 108, n 6

CuWO₄

1988

18 Б2249. Выращивание и важнейшие свойства монокристаллов CuWO₄. Growth and important properties of CuWO₄ single crystals. Агога S. K., Mathew T., Batra N. M. «J. Cryst. Growth», 1988, 88, № 3, 379—382 (англ.)

Кристаллы CuWO₄ (I) шириной 3 мм и длиной 40 мм выращены при хим. р-ции: CuCl₂+Na₂WO₄=CuWO₄++2NaCl. Р-ция проходила при 850° С, затем после выдержки в течение 4-х ч. система охлаждалась до 650° С со скоростью 5° С/ч, что и обеспечивало рост кристаллов I. Установлено, что, поскольку рост происходит ниже т-ры плавл. (1000° С), кристаллы I имеют хорошее кач-во. Проведено исследование нек-рых физ. св-в I. Параметры крист. решетки $a=4,703 \text{ \AA}$; $b=5,839 \text{ \AA}$; $c=4,878 \text{ \AA}$; $\alpha=91,70^\circ$; $\beta=92,50^\circ$; $\gamma=82,80^\circ$; плотность 7,7 г/см³; магн. восприимчивость $5,0355 \cdot 10^{15} \mu\text{в}$; диэлектрич. постоянная 26,89.

Д. В. Костомаров

X. 1988, 19, N 18

Cu_2WO_4

1988

5 Б2024. Кристаллическая структура Cu_2WO_4 . Zur Kristallstruktur von Cu_2WO_4 / Mumm H.-C., Müller-Buschbaum H. K. // J. Less-Common Metals.— 1988.— 142.— С. 85—90.— Нем.; рез. англ.

Методом РСТА (метод тяжелого атома, уточнение до $R = 0,063$) изучено строение трикл. Cu_2WO_4 , полученного сплавлением эквивалентных кол-в CuWO_4 и металлич. Cu в CO₂-лазере в атмосфере Ar. Параметры трикл. решетки $a = 7,9018$, $b = 8,2008$, $c = 5,8718$ Å, $\alpha = 96,506^\circ$, $\beta = 94,033^\circ$, $\gamma = 110,270^\circ$, $Z = 4$, ф. гр. P 1. Атомы W имеют октаэдрич. координацию, W—O 1,749—2,289 Å, октаэдры сдвоены через общие ребра вдоль [100] и связаны через полиэдры атомов Cu в 3-мерный каркас. Атомы Cu имеют гантельную (Cu—O 1,945—1,979 Å), треугольную (Cu—O 1,986—2,083 Å) и смешанную (2+1, Cu—O 1,753—2,428 Å) координацию. М. Б. Варфоломеев

Кристал.
Структура

X·1989, № 5

Great
W-Cu

1989

і1 Е316. Исследование теплофизических свойств псевдосплава вольфрам — медь при высоких температурах / Петрова И. И., Чеховской В. Я. // Термофиз. высок. температур.— 1989.— 27, № 4.— С. 638—696

Приводятся результаты эксперим. исследования спектральной степени черноты, энталпии, теплоемкости и уд. электросопротивления псевдосплава вольфрам — медь с массовым содержанием меди 9,5%. Исследования проведены методом субсекундного нагрева.

Резюме

титаноруд.
СВ-ЛА

cf. 1989, N 11

CuBiW₂O₈

1992

15 Б2040. Оксоловольфрамат меди и висмута, родственный β -CuNdW₂O₈ и β -LiNbW₂O₈: CuBiW₂O₈. Ein mit β -CuNdW₂O₈ und β -LiYbW₂O₈ verwandtes Kupfer-Wismut-Oxowolframats: CuBiW₂O₈ /Krüger T. F., Müller-Buschbaum Hk. //J. Alloys and Compounds .—1992 .—190 ,№ 1 .—C. L1—L3 .—Нем.

Методом РСТА (λ Mo, 257 ненулевых отражений, R 0,042, R_w 0,039) изучено строение трикл. CuBiW₂O₈ (I), полученного в Си-бомбе из Cu₂WO₄, WO₃ и Bi₂O₃ (моль отношение соотв. 6 : 3 : 1) при 950° С. Для I a 6,074, b 6,083, c 5,006 Å, α 112,45, β 91,86, γ 110,28°, Z 1, ф. гр. P1. Структура I родственна β -CuNdW₂O₈ (II) и β -LiYbW₂O₈ (III) и занимает между ними промежуточное положение. При полной идентичности координации Cu в I и II (гантель) и W (октаэдр), Cu—O 1,878—1,885, W—O 1,730—2,124 Å, наблюдается нек-рое различие в координации Bi (полиэдр в виде октаэдра в I с Bi—O 2,206—2,581 Å). Последнее сближает структуру I с III.

М. Б. Варфоломеев

X. 1993, N 15

Wilex

1992

Д 4 Е176. Экспериментальное исследование теплофизических свойств псевдосплава вольфрам—медь импульсным методом с использованием обдува образца / Петрова И. И., Чеховской В. Я. // Теплофиз. высок. температур. — 1992 .— 30 , № 6 .— С. 1097—1102 .— Рус.

Расширен температурный диапазон исследований теплофизич. свойств псевдосплавов вольфрам—медь за счет обдува образца потоком аргона, уменьшающего поглощение и рассеяние излучения частицами конденсата меди. Использован метод субсекундного импульсного нагрева. Получены данные по теплоемкости и уд. электропротивлению псевдосплава, содержащего 10,9 масс.% меди в исходном состоянии и 5,7 масс.% меди после первого нагрева в интервале т-р 2100—3000К.

д. 1993, № 4

Wlxx

1992

9 Б3041. Исследование теплофизических свойств композиционных материалов вольфрам—медь субсекундным импульсным методом /Петрова И. И., Чеховский В. Я. //9 Термофиз. конф. СНГ, Махачкала, 24—28 июня, 1992: Тез. докл. —Махачкала, 1992.—С. 157.—Рус.

X. 1993; NG

CuWO₄

1996

9Б382. Калориметрическое исследование не-
скольких купратов с ограниченной размерно-
стью. Calorimetric study of several cuprates with restricted
dimensionality / Yamaguchi Masaaki, Furuta Томоши,
Ishikawa Masayasu // J. Phys. Soc. Jap.— 1996 .— 65, № 9
— С. 2998—3006 .— Англ.

Измерены теплоемкости и магнитные восприимчи-
вости магнитных соед. различной крист. структуры —
CuWO₄, LiCuVO₄, CuSb₂O₆, CuNb₂O₆ и CuBi₂O₄. Все
эти соед. показывают сильные одномерные корреляции,
сохраняющиеся вплоть до очень высоких т-р, к-рые хо-
рошо объясняются моделью гейзенберговской антиферро-
магнитной линейной цепи. При более низких т-рах эти
соед. за исключением CuNb₂O₆ показывают различные
дальнодействующие магнитные упорядочения. В частно-
сти наблюдался довольно необычный переход при 2,4К
для LiCuVO₄, к-рый предположительно является пере-
ходом в состояние квадратич. антиферромагнетика Изинга.
Магнитная восприимчивость и теплоемкость показывают
крит. точки и логарифмич. расходимость в соответствии
с теор. предсказаниями.

В. Ф. Байбуз

G, Fe₂ O₃ +4 X. 1997, № 9

Cu_3WO_6
 CuWO_4

1999

131: 50184g System CuO-WO_3 . Kol'tsova, T. N.; Nipan, G. D. (Kurnakov Institute of General and Inorganic Chemistry, Russian Academy of Sciences, Moscow, Russia 117907). *Inorg. Mater.* 1999, 35(4), 383–384 (Eng), MAIK Nauka/Interperiodica Publishing. Detailed phase-diagram studies confirm that the CuO-WO_3 system contains only two double oxides, Cu_3WO_6 and CuWO_4 . The CuO-WO_3 phase diagram is mapped out.

Система
гетерогенных
оксидов